

Использование модифицированного преобразования Хаусхолдера для выполнения собственного и сингулярного разложений на параллельных вычислительных системах с общей памятью



Авторы: А.Е.Андреев, В.А.Егунов

**Solving of Eigenvalue and Singular Value Problems via
Modified Householder Transformations on Shared Memory
Parallel Computing Systems**

Докладчик: В.А.Егунов

Суперкомпьютерные дни в России
Москва, 23-24 сентября 2019 г.



Постановка задачи

**Собственное
разложение**

$$Av = \lambda v$$

$$A_{k+1} = U_k A_k U_k^*$$

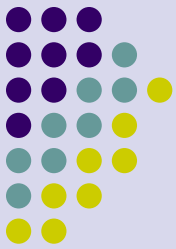
**Сингулярное
разложение**

$$Av = \lambda u$$

$$A^*u = \lambda v$$

$$A_{k+1} = U_k A_k V_k^*$$

Ускорение процесса вычислений



Хессенбергова форма

$$\begin{array}{ccccccc}
 \bar{a}_{11} & a_{12} & a_{13} & \dots & a_{1,n-2} & a_{1,n-1} & a_{1n} \\
 a_{21} & a_{22} & a_{23} & \dots & a_{2,n-2} & a_{2,n-1} & a_{2n} \\
 0 & a_{32} & a_{33} & \dots & a_{3,n-2} & a_{3,n-1} & a_{3n} \\
 0 & 0 & a_{43} & \dots & a_{4,n-2} & a_{4,n-1} & a_{4n} \\
 \hline
 0 & 0 & 0 & \dots & 0 & a_{n,n-1} & a_{nn}
 \end{array}$$

$$\begin{array}{ccccccc}
 \bar{a}_{11} & a_{12} & 0 & \dots & 0 & 0 & 0 \\
 a_{21} & a_{22} & a_{23} & \dots & 0 & 0 & 0 \\
 \hline
 a_{n-2,1} & a_{n-2,2} & a_{n-2,3} & \dots & a_{n-2,n-2} & a_{n-2,n-1} & 0 \\
 a_{n-1,1} & a_{n-1,2} & a_{n-1,3} & \dots & a_{n-1,n-2} & a_{n-1,n-1} & a_{n-1,n} \\
 a_{n,1} & a_{n,2} & a_{n,3} & \dots & a_{n,n-2} & a_{n,n-1} & a_{nn}
 \end{array}$$

Двухдиагональная форма

$$\begin{array}{ccccccc}
 \bar{a}_{11} & a_{12} & 0 & \dots & 0 & 0 & 0 \\
 0 & a_{22} & a_{23} & \dots & 0 & 0 & 0 \\
 \hline
 0 & 0 & 0 & \dots & a_{n-2,n-2} & a_{n-2,n-1} & 0 \\
 0 & 0 & 0 & \dots & 0 & a_{n-1,n-1} & a_{n-1,n} \\
 0 & 0 & 0 & \dots & 0 & 0 & a_{nn}
 \end{array}$$

$$\begin{array}{ccccccc}
 \bar{a}_{11} & 0 & 0 & \dots & 0 & 0 & 0 \\
 a_{21} & a_{22} & 0 & \dots & 0 & 0 & 0 \\
 0 & a_{32} & a_{33} & \dots & 0 & 0 & 0 \\
 0 & 0 & a_{43} & \dots & 0 & 0 & 0 \\
 \hline
 0 & 0 & 0 & \dots & 0 & a_{n,n-1} & a_{nn}
 \end{array}$$



Отражение Хаусхолдера

$$A = QRQ^T$$

$$s_k = -\text{sign}(a_{kk}) \left(\sum_{i=k}^n a_{ik}^2 \right)^{\frac{1}{2}}$$

$$\varphi_k = (s_k^2 - s_k a_{kk})^{-1}$$

$$\mathbf{u}_k^T = (0, \dots, 0, a_{kk} - s_k, a_{k+1,k}, \dots, a_{nk})$$

$$a_{kk} = s_k$$

Для $j = k+1$ до n

$$\lambda_j = \varphi_k \mathbf{u}_k^T \mathbf{a}_j$$

$$\mathbf{a}_j = \mathbf{a}_j - \lambda_j \mathbf{u}_k$$

a_{11}	a_{12}	a_{13}	---	$a_{1,n-2}$	$a_{1,n-1}$	a_{1n}
a_{21}	a_{22}	a_{23}	---	$a_{2,n-2}$	$a_{2,n-1}$	a_{2n}
a_{31}	a_{32}	a_{33}	---	$a_{3,n-2}$	$a_{3,n-1}$	a_{3n}
a_{41}	a_{42}	a_{43}	---	$a_{4,n-2}$	$a_{4,n-1}$	a_{4n}

a_{n1}	a_{n2}	a_{n3}	---	$a_{n,n-2}$	$a_{n,n-1}$	a_{nn}



a_{11}	a_{12}	a_{13}	---	$a_{1,n-2}$	$a_{1,n-1}$	a_{1n}
a_{21}	a_{22}	a_{23}	---	$a_{2,n-2}$	$a_{2,n-1}$	a_{2n}
0	a_{32}	a_{33}	---	$a_{3,n-2}$	$a_{3,n-1}$	a_{3n}
0	a_{42}	a_{43}	---	$a_{4,n-2}$	$a_{4,n-1}$	a_{4n}

0	a_{n2}	a_{n3}	---	$a_{n,n-2}$	$a_{n,n-1}$	a_{nn}

Приведение матрицы произвольного вида к Хессенберговой форме



$$s_k = -\operatorname{sign}(a_{k+1,k}) \left(\sum_{i=k+1}^n a_{ik}^2 \right)^{\frac{1}{2}},$$

$$\varphi_k = (s_k^2 - s_k a_{k+1,k})^{-1}$$

$$\mathbf{u}_k^T = (0, \dots, 0, a_{k+1,k} - s_k, a_{k+2,k}, \dots, a_{nk})$$

$$\lambda_j = \varphi_k \mathbf{u}_k^T \mathbf{a}_j \quad \left| \quad j = \overline{k, n} \right.$$

$$\mathbf{a}_j = \mathbf{a}_j - \lambda_j \mathbf{u}_k \quad \left| \quad j = \overline{k, n} \right.$$

$$\lambda'_j = \varphi_k \mathbf{b}_j \mathbf{u}_k \quad \left| \quad j = \overline{k, n} \right.$$

$$\mathbf{b}_j = \mathbf{b}_j - \lambda'_j \mathbf{u}_k^T \quad \left| \quad j = \overline{k, n} \right.$$

Приведение матрицы произвольного вида к двухдиагональной форме



$$s_k = -\operatorname{sign}(a_{k,k}) \left(\sum_{i=k}^n a_{ik}^2 \right)^{\frac{1}{2}},$$

$$\varphi_k = (s_k^2 - s_k a_{k,k})^{-1}$$

$$\mathbf{u}_k^T = (0, \dots, 0, a_{k,k} - s_k, a_{k+1,k}, \dots, a_{nk})$$

$$\lambda_j = \varphi_k \mathbf{u}_k^T \mathbf{a}_j \Big|_{j = \overline{k, n}}$$

$$\mathbf{a}_j = \mathbf{a}_j - \lambda_j \mathbf{u}_k$$

$$s'_k = -\operatorname{sign}(a_{k,k+1}) \left(\sum_{i=k+1}^n a_{ki}^2 \right)^{\frac{1}{2}},$$

$$\varphi'_k = (s_k'^2 - s'_k a_{k,k+1})^{-1}$$

$$\mathbf{u}'_k{}^T = (0, \dots, 0, a_{k,k+1} - s'_k, a_{k,k+2}, \dots, a_{kn})$$

$$\lambda'_j = \varphi'_k \mathbf{b}_j \mathbf{u}'_k{}^T \Big|_{j = \overline{k, n}}$$

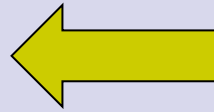
$$\mathbf{b}_j = \mathbf{b}_j - \lambda'_j \mathbf{u}'_k{}^T$$

$k < n - 1$



«Узкие» места алгоритмов

$$s_k = -\operatorname{sign}(a_{k+1,k}) \left(\sum_{i=k+1}^n a_{ik}^2 \right)^{\frac{1}{2}},$$
$$\varphi_k = (s_k^2 - a_{k+1,k})^{-1}$$
$$\mathbf{u}_k^T = (0, \dots, 0, a_{k+1,k} - s_k, a_{k+2,k}, \dots, a_{nk})$$



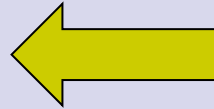
1 этап

элементы вектора отражения

последовательное выполнение

!!! синхронизация

$$\lambda_j = \varphi_k \mathbf{u}_k^T \mathbf{a}_j \Big|_{j = \overline{k, n}}$$
$$\mathbf{a}_j = \mathbf{a}_j - \lambda_j \mathbf{u}_k$$



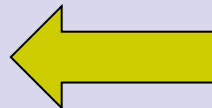
2 этап

обработка столбцов

неэффективная реализация

!!! синхронизация

$$\lambda'_j = \varphi_k \mathbf{b}_j \mathbf{u}_k \Big|_{j = \overline{k, n}}$$
$$\mathbf{b}_j = \mathbf{b}_j - \lambda'_j \mathbf{u}_k^T$$



3 этап

обработка строк



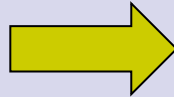
«Узкие» места алгоритмов

- обработка данных вдоль столбцов матрицы, что существенно снижает эффективность по сравнению с вариантом вычислений, основанном на обработке строк матрицы;
- последовательный этап вычисления элементов вектора отражения;

Ускорение обработки столбцов матриц

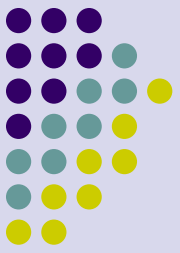


- определяются значения скалярных произведений столбцов и вектора отражения;
- на основе полученных значений скалярных произведений вычисляются новые значения элементов столбцов.



- на первом этапе формируется матрица специального вида;
- на втором этапе вычисляются новые значения элементов столбцов, обработка всех элементов матрицы можно вести параллельно,

Ускорение обработки столбцов матриц



$$sc = \varphi_k \mathbf{u}_k^T \mathbf{A}$$

$$\mathbf{D} = \text{diag}(sc_0, sc_1, \dots, sc_n)$$

$$U[:, j] = [\mathbf{u}_k]$$

$$SCU = UD$$

$$\mathbf{b}_j = \mathbf{b}_j - scu_j \mid j = \overline{k, n}$$

$$\lambda'_j = \varphi_k \mathbf{b}_j \mathbf{u}_k \mid j = \overline{k, n}$$

$$\mathbf{b}_j = \mathbf{b}_j - \lambda'_j \mathbf{u}_k^T \mid j = \overline{k, n}$$

Снижение доли последовательных вычислений



- в базовом варианте алгоритма, а также в модификациях, рассмотренных выше, элементы вектора отражения формируются в последовательной части программы;
- перенос этапа определения элементов вектора отражения из последовательной части вычислений в параллельную;

Снижение доли последовательных вычислений



$$s_{k|j+1} = 0$$

$$\lambda_j = \varphi_k \mathbf{u}_k^T \mathbf{a}_j \quad \left| \quad j = \overline{k, n} \right.$$

$$\mathbf{a}_j = \mathbf{a}_j - \lambda_j \mathbf{u}_k \quad \left| \quad j = \overline{k, n} \right.$$

$$\lambda'_j = \varphi_k \mathbf{b}_j \mathbf{u}_k$$

$$\mathbf{b}_j = \mathbf{b}_j - \lambda'_j \mathbf{u}_k$$

$$\mathbf{u}_{k+1}^T[j] = \mathbf{b}_j[k+1] \quad \left| \quad j > k+2 \right.$$

$$\left. \right| \quad j = \overline{k, n}$$

$$s_{k|j+1} = s_{k|j+1} + \mathbf{b}_j[k+1]^2 \quad \left| \quad j \geq k+2 \right.$$

$$s_{k|j+1} = -\text{sign}(a_{k+2,k+1}) s_{k|j+1}^{\frac{1}{2}},$$

$$\varphi_{k|j+1} = (s_{k|j+1}^2 - s_{k|j+1} a_{k+2,k+1})^{-1}$$

$$\mathbf{u}_{k+1}^T[0:(k+1)] = 0$$

$$\mathbf{u}_{k+1}^T[k+2] = a_{k+2,k+1} - s_{k|j+1}$$

Снижение доли последовательных вычислений



```
#pragma omp parallel for
for(int row = step; row < N; row++){
    double scalar = 0;
    for(int i = (step + shift); i < N; i++){
        scalar += matr[row * N + i] * vect[i];
    }
    scalar *= gamma;
    for(int i = (step + shift); i < N; i++){
        matr[row * N + i] -= scalar * vect[i];
        / !!! БОЛЬШОЕ ЧИСЛО ПРОВЕРОК !!!
        if (i == (step + shift)){
            if (row > (step + 1 + shift))
                vectAdd[row] = matr[row * N + i];
            if (row >= (step + 1 + shift))
                s += matr[row * N + i] * matr[row * N + i];
        }
    }
}
// Корректировка .....
```

Снижение доли последовательных вычислений



-разворачиваем цикл;

-убираем проверку `if (row > (step + 1 + shift))`; вектор отражения скорректируем в последовательной части программы;

-убираем проверку `if (row >= (step + 1 + shift))`; значение модуля скорректируем в последовательной части программы;

- убираем синхронизацию `#pragma omp atomic`, каждый поток накапливает модуль в своей переменной;

Снижение доли последовательных вычислений



```
#pragma omp parallel for
for(int row = step; row < N; row++){
    double scalar = 0;
    for(int i = (step + shift); i < N; i++)
        scalar += matr[row * N + i] * vect[i];
    scalar *= gamma;
    matr[row * N + step + shift] -= scalar * vect[step + shift];
    vectAdd[row] = matr[row * N + step + shift];
    sAr[numT] += matr[row * N + step + shift] * matr[row * N + step +
shift];
    for(int i = (step + shift + 1); i < N; i++)
        matr[row * N + i] -= scalar * vect[i];
}
```

Снижение доли последовательных вычислений



$$s_{k | j+1} = 0$$

$$\left. \begin{aligned} \lambda_j &= \varphi_k \mathbf{u}_k^T \mathbf{a}_j \\ \mathbf{a}_j &= \mathbf{a}_j - \lambda_j \mathbf{u}_k \end{aligned} \right| j = \overline{k, n}$$

$$\left. \begin{aligned} \lambda'_j &= \varphi_k \mathbf{b}_j \mathbf{u}_k \\ \mathbf{b}_j &= \mathbf{b}_j - \lambda'_j \mathbf{u}_k^T \\ \mathbf{u}_{k+1}^T[j] &= \mathbf{b}_j[k+1] \end{aligned} \right| j = \overline{k, n}$$

$$s_{k | j+1} = s_{k | j+1} + \mathbf{b}_j[k+1]^2$$

$$s_{k | j+1} = s_{k | j+1} - \mathbf{A}[k, k+1]^2 - \mathbf{A}[k+1, k+1]^2$$

$$s_{k | j+1} = -\text{sign}(a_{k+2, k+1}) s_{k | j+1}^{\frac{1}{2}},$$

$$\varphi_{k | j+1} = (s_{k | j+1}^2 - s_{k | j+1} a_{k+2, k+1})^{-1}$$

$$\mathbf{u}_{k+1}^T[0: (k+1)] = 0$$

$$\mathbf{u}_{k+1}^T[k+2] = a_{k+2, k+1} - s_{k | j+1}$$



Результирующий алгоритм

$$s_{k|j+1} = 0$$

$$s\mathbf{c} = \varphi_k \mathbf{u}_k^T \mathbf{A} \quad \mathbf{D} = \text{diag}(s\mathbf{c}_0, s\mathbf{c}_1, \dots, s\mathbf{c}_n) \quad \mathbf{U}[:j] = [\mathbf{u}_k]$$

$$s\mathbf{C}\mathbf{U} = \mathbf{U}\mathbf{D}$$

$$\mathbf{b}_j = \mathbf{b}_j - s\mathbf{c}\mathbf{u}_j | j = \overline{k, n}$$

$$\left. \begin{aligned} \lambda'_j &= \varphi_k \mathbf{b}_j \mathbf{u}_k \\ \mathbf{b}_j &= \mathbf{b}_j - \lambda'_j \mathbf{u}_k^T \\ \mathbf{u}_{k+1}^T[j] &= \mathbf{b}_j[k+1] \end{aligned} \right| j = \overline{k, n}$$

$$s_{k|j+1} = s_{k|j+1} + \mathbf{b}_j[k+1]^2$$

$$s_{k|j+1} = s_{k|j+1} - \mathbf{A}[k, k+1]^2 - \mathbf{A}[k+1, k+1]^2$$

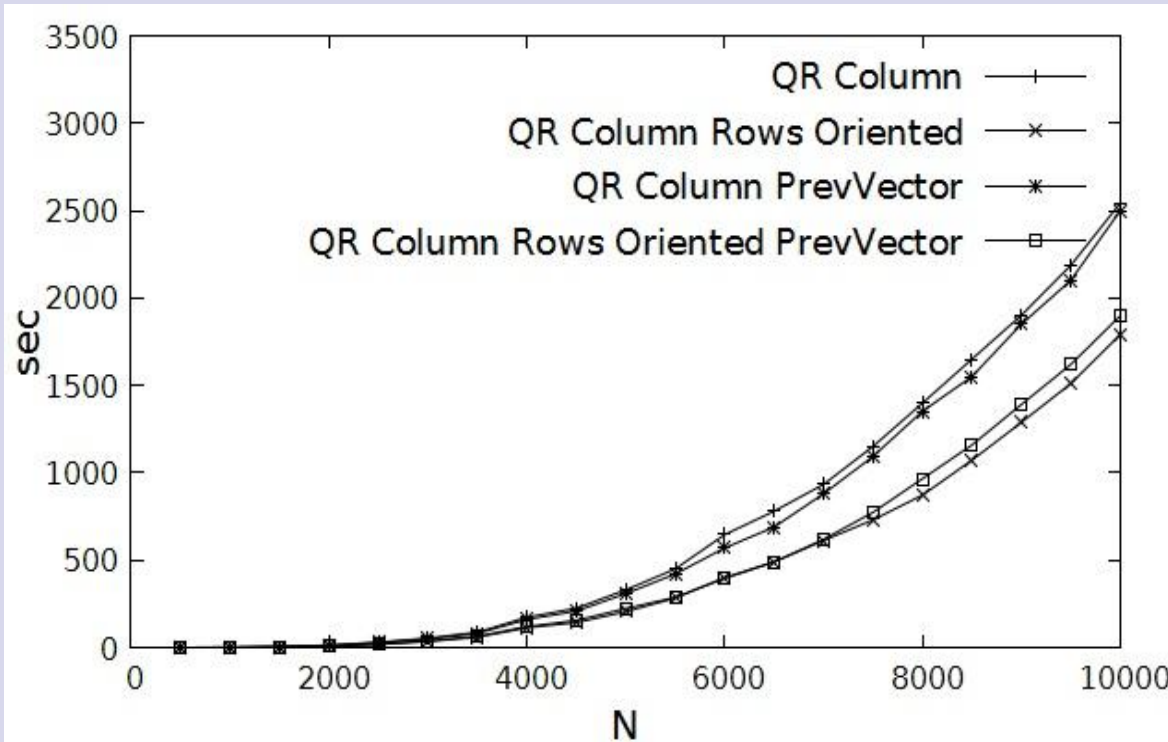
$$s_{k|j+1} = -\text{sign}(a_{k+2, k+1}) s_{k|j+1}^{\frac{1}{2}},$$

$$\varphi_{k|j+1} = (s_{k|j+1}^2 - s_{k|j+1} a_{k+2, k+1})^{-1}$$

$$\mathbf{u}_{k+1}^T[0: (k+1)] = 0$$

$$\mathbf{u}_{k+1}^T[k+2] = a_{k+2, k+1} - s_{k|j+1}$$

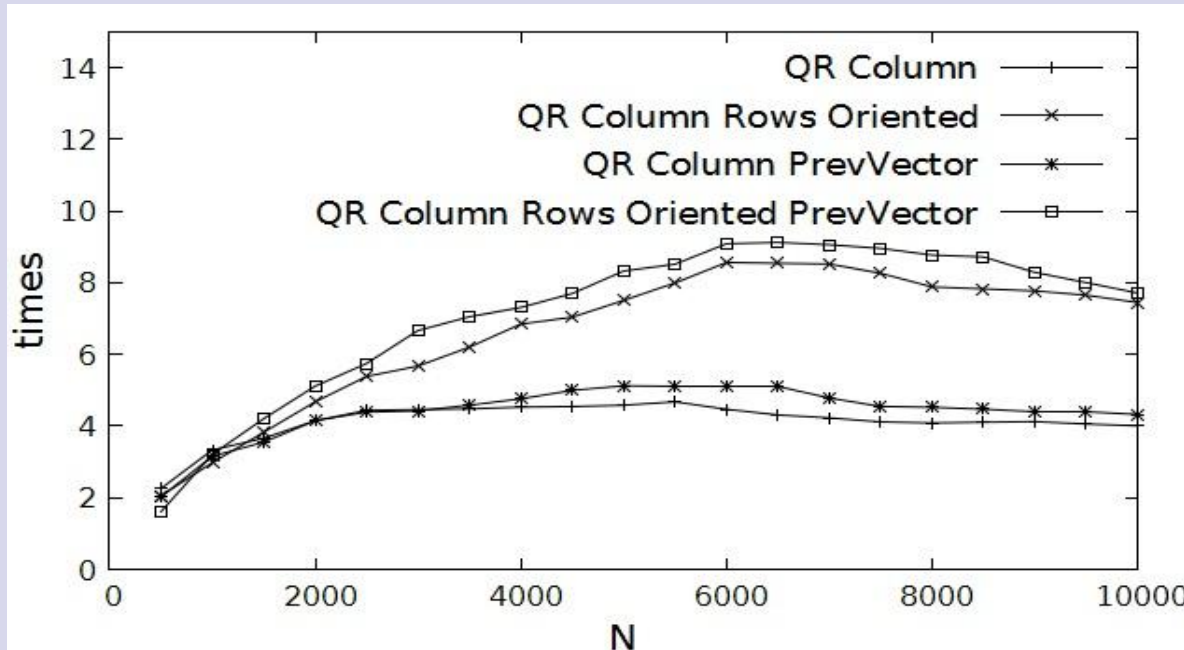
Время работы последовательных вариантов программ приведения матрицы к верхней Хессенберговой форме



- наименее эффективна реализация классического преобразования;

- самым быстрым является вариант с использованием строчно – ориентированной схемы;

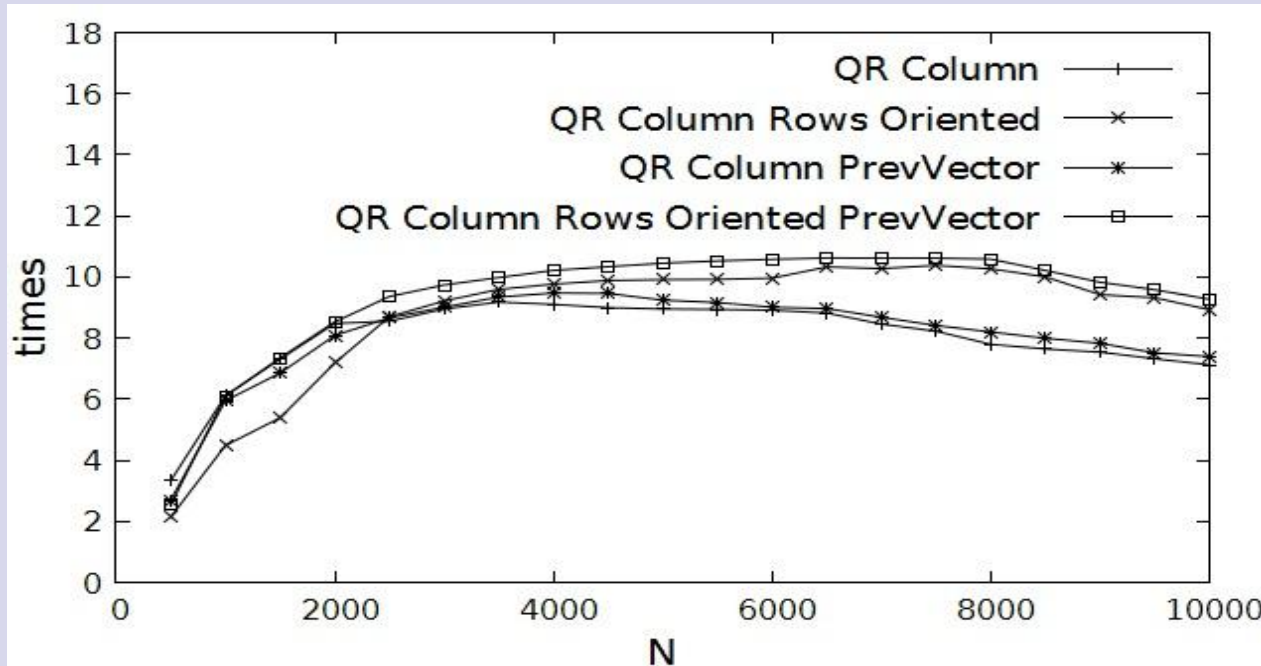
Значения ускорения параллельных вариантов программ приведения матрицы к верхней Хессенберговой форме по отношению к базовому алгоритму, число потоков равно 5



- лучшим оказывается вариант, в котором использовались обе модификации;

- на 5 параллельных потоках работа базового варианта алгоритма была ускорена более, чем в 9 раз;

Значения ускорения параллельных вариантов программ приведения матрицы к верхней Хессенберговой форме по отношению к базовому алгоритму, число потоков равно 10



- предложенные модификации базового алгоритма обладают лучшими показателями ускорения, однако, их эффективность у увеличением числа параллельных потоков несколько снизилась;

Дальнейшая оптимизация



-векторизация вычислений...



Исследование выполнено при
финансовой поддержке РФФИ и
Администрации Волгоградской области в
рамках научного проекта № 18-47-340010
р_а.